

ПОСТРОЕНИЕ ТОПОЛОГИЧЕСКОГО РИСУНКА ГРАФА С ЦИКЛИЧЕСКИМИ ФРАГМЕНТАМИ

Курапов С. В., к. ф.-м. н., доцент, Чеченя В. С., аспирант

Запорожский национальный университет

В работе представлен метод для построения топологического рисунка графа с минимальным числом пересечений ребер для графа с циклическими фрагментами. Задача построения рисунка суграфа для непланарного графа может быть представлена как поиск (выделение) подмножества циклов из совместного множества единичных циклов, достигающих нулевого значения функционала Мак-Лейна. Удаление циклов производилось с учетом максимального изменения значения функционала Мак-Лейна и с одновременным выполнением правила «удаляем цикл – удаляется только одно ребро».

Ключевые слова: граф, топологический рисунок графа, суграф, гиперграф, множество циклов, функционал Мак-Лейна.

Курапов С. В., Чеченя В. С. ПОБУДОВА ТОПОЛОГІЧНОГО РИСУНКА ГРАФА З ЦИКЛІЧНИМИ ФРАГМЕНТАМИ / *Запорізький національний університет, Україна*

У роботі представлений метод для побудови топологічного рисунка графа з мінімальним числом перетинів ребер для графа з циклічними фрагментами. Завдання побудови рисунка суграфа для непланарного графа може бути представлена як пошук (виділення) підмножини циклів зі всієї множини одиничних циклів, що досягають нульового значення функціоналу Мак-Лейна. Видалення циклів відбувається з урахуванням максимальної зміни значення функціоналу Мак-Лейна та з одночасним виконанням правила «видаляємо цикл - видаляється лише одне ребро».

Ключові слова: граф, топологічний рисунок графа, суграф, гіперграф, множина циклів, функціонал Мак-Лейна.

Kurapov S. V., Chechenja V. S. CONSTRUCTION OF TOPOLOGICAL PICTURE OF GRAPH WITH CYCLIC FRAGMENTS / *Zaporizhzhya National University, Ukraine*

In this work a method is presented for the construction of topological picture of graph with the minimum number of crossings of ribs for a graph with cyclic fragments. The task of construction of picture of subgrapha for a nonplanar graph can be presented as a search (selection) of subset of cycles from the joint great number of single cycles, arriving at a zero value of functional of Mak-Leyna. The delete of cycles was produced taking into account the maximal change of value of functional of Mak-Leyna and with simultaneous implementation of rule «delete a cycle – an only one rib retires».

Key words: graph, the topological pattern of the graph, subgraph, hypergraph, the set of cycles, the functional McLean.

ВВЕДЕНИЕ

При проектировании плоских конструктивов, часто приходится представлять принципиальную электрическую схему в виде графа с циклическими фрагментами. Данная математическая модель с соответствующей степенью адекватности описывает топологические свойства проведения соединений и взаимное расположение элементов при решении задачи построения топологического рисунка с минимальным числом пересечений. Одной из первых публикаций по представлению топологического описания рисунка графа с пересечением ребер для двух циклических фрагментов была работа [5].

Автору удалось преобразовать данную задачу к решению известной задачи теории графов по представлению двудольного графа с минимальным числом пересечения ребер (рис. 1). Однако решение приводится только для двух фрагментов, и это породило развитие идей цепочного построения топологического рисунка графа для нескольких фрагментов [1]. Однако данные математические модели зависят от выбора первоначальной цепочки соединений, что приводит к задаче оптимального перебора вариантов.

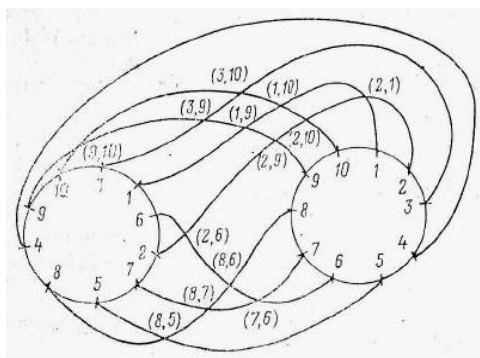


Рис. 1. Пересечения ребер в двух фрагментах

Развитие методов построения топологического рисунка для неориентированных графов с неизбежностью приводит к постановке вопроса о применимости данных методов для решения задачи построения топологического рисунка графа с циклическими фрагментами [2].

ПОСТАНОВКА ЗАДАЧИ

Будем рассматривать такие электрические конструкции, в которых соединения между элементами располагаются в одной или нескольких плоскостях. К таким конструкциям относятся печатные платы, микросборки, интегральные микросхемы и т.д. Здесь обычно корпуса интегральных схем задаются циклическими фрагментами.

Процесс построения начинается с того, что каждому гиперребру гиперграфа принципиальной электрической схемы ставится в соответствии электрическая цепь, а вершины характеризуют элементы схемы. Далее каждому гиперребру ставится в соответствие вершина графа Кёнига. В таком построении вершины характеризующие элементы могут быть представлены циклическими фрагментами, которые задаются набором ориентированных ребер в зависимости от технологических ограничений (рис. 2). Таким образом, осуществляется переход к частично ориентированному графу $G = (X, U; P)$, здесь X – множество вершин графа, U – множество ребер и P – трехместный предикат. Будет называть граф с циклическими фрагментами, частично ориентированный граф, у которого ребра, принадлежащие циклическому фрагменту, ориентированы (рис. 2).

Самым важным вопросом при построении топологического рисунка частично ориентированного графа является выделение множества единичных циклов \tilde{N}_f^r .

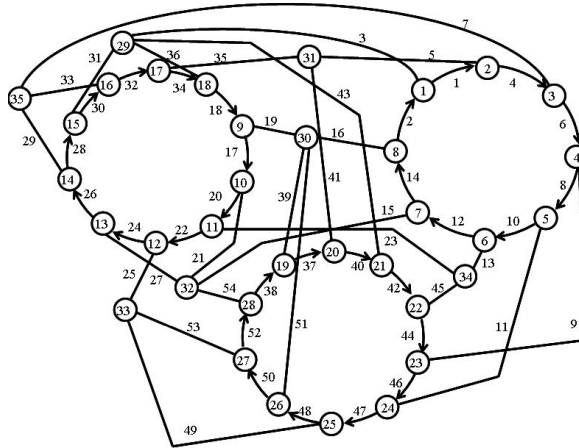
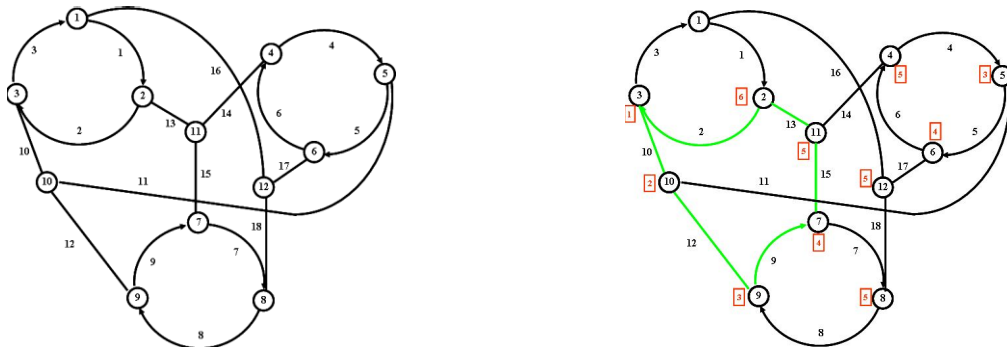


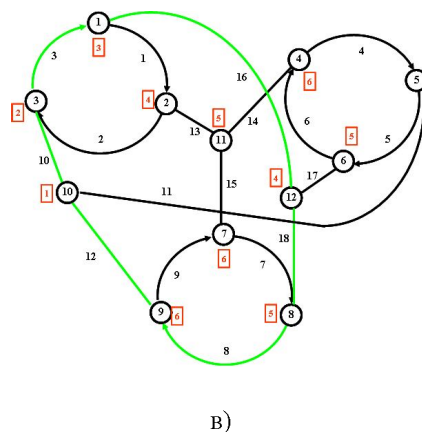
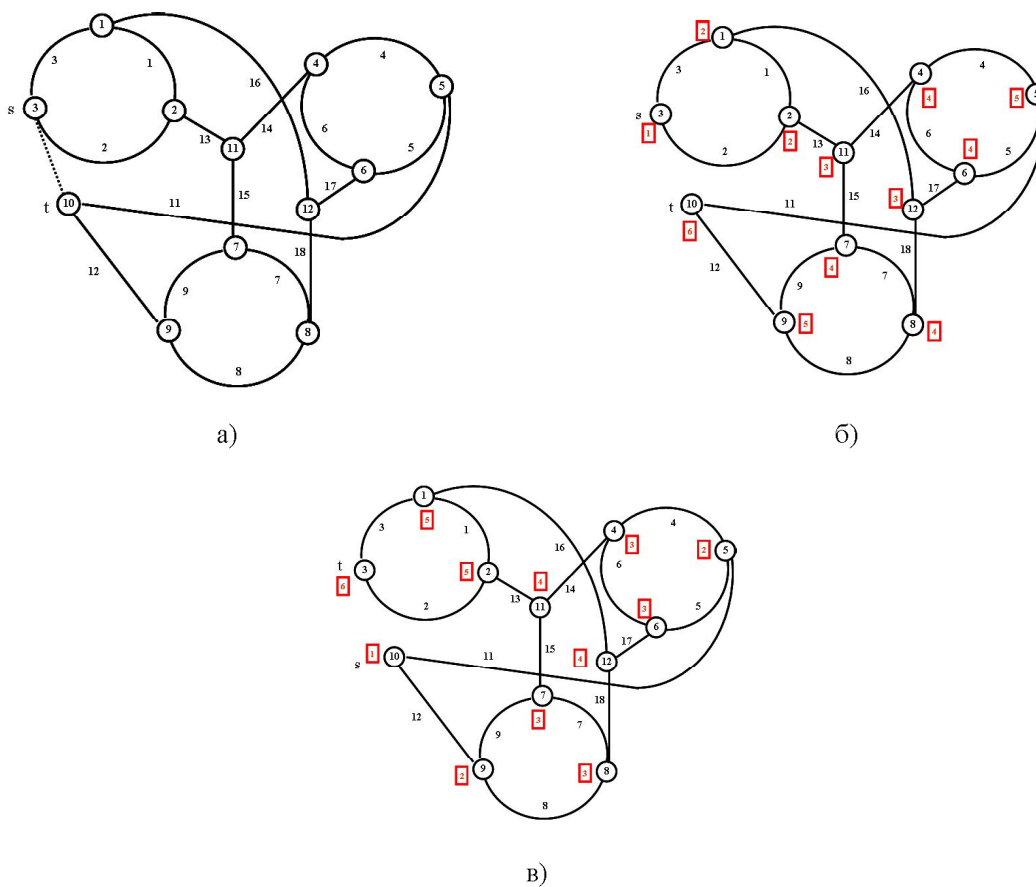
Рис. 2. Граф с циклическими фрагментами

Рассмотрим методы построения единичных циклов для графов с циклическими фрагментами. Выделим произвольное ребро графа, не принадлежащее циклическим фрагментам, и удалим его из рассмотрения. Теперь построим минимальные s - t цепи для двух несмежных концевых вершин ребра s и t с учетом ориентации ребер поиском в ширину. Добавим к полученным минимальным цепям удаленное ребро и получим единичные циклы для выбранного ребра. Все множество единичных циклов образуется как объединение всех единичных циклов для неориентированных ребер. В качестве примера, рассмотрим граф на рис. 3,а и его единичные циклы относительно ребра u_{10} : $\{u_2, u_9, u_{10}, u_{12}, u_{13}, u_{15}\}$, $\{u_3, u_8, u_{10}, u_{12}, u_{16}, u_{18}\}$ полученные алгоритмом поиска в ширину.



а)

б)

Рис. 3. Граф с циклическими фрагментами а) и его единичные циклы для ребра u_{10} б) и в)Рис. 4. Неориентированный граф а) и его единичные циклы для ребра u_{10} б) и в)

Другой способ выделения единичных циклов для графа с циклическими фрагментами заключается в формировании множества единичных циклов для ребра неориентированного графа, с последующим удалением циклов, имеющих разнонаправленные ориентированные ребра. В качестве примера, рассмотрим граф на рис. 4, а и его единичные циклы (рис. 4, б и в). Здесь для ребра u_{10} множество единичных циклов в неориентированном графе: $\{u_2, u_9, u_{10}, u_{12}, u_{13}, u_{15}\}$, $\{u_3, u_8, u_{10}, u_{12}, u_{16}, u_{18}\}$, $\{u_2, u_4, u_{10}, u_{11}, u_{13}, u_{14}\}$, $\{u_3, u_5, u_{10}, u_{11}, u_{16}, u_{17}\}$. Для получения множества единичных циклов графа, имеющего циклические фрагменты, нужно удалить последние два цикла, как имеющие разнонаправленные ориентированные ребра.

Все множество единичных циклов \tilde{N}_f^T для графа с циклическими фрагментами имеет вид:

$$c_1 = \{u_2, u_9, u_{10}, u_{12}, u_{13}, u_{15}\}, c_2 = \{u_3, u_8, u_{10}, u_{12}, u_{16}, u_{18}\}, c_3 = \{u_5, u_8, u_{11}, u_{12}, u_{17}, u_{18}\}, c_4 = \{u_4, u_9, u_{11}, u_{12}, u_{14}, u_{15}\},$$

$$c_5 = \{u_1, u_7, u_{13}, u_{15}, u_{16}, u_{18}\}, c_6 = \{u_6, u_7, u_{14}, u_{15}, u_{17}, u_{18}\}, c_7 = \{u_1, u_6, u_{13}, u_{14}, u_{16}, u_{17}\}, c_8 = \{u_1, u_7, u_{13}, u_{15}, u_{16}, u_{18}\}.$$

Естественно к ним добавляются циклы, описывающие циклические фрагменты:

$$c_9 = \{u_1, u_2, u_3\}, c_{10} = \{u_4, u_5, u_6\}, c_{11} = \{u_7, u_8, u_9\}.$$

Таким образом, алгоритм выделения единичных циклов в частично ориентированном графе выглядит следующим образом:

1. Представляем частично ориентированный граф в виде неориентированного графа и известным алгоритмом [2,3] выделяем множество единичных циклов \tilde{N}^c .
2. Переходим к рассмотрению частично ориентированного графа и удаляем те циклы из множества единичных циклов \tilde{N}^c , у которых имеются не совпадающие ориентированные ребра.

Процесс построения топологического рисунка графа с циклическими фрагментами определяется последовательностью решения следующих задач:

- проверка графа на планарность,
- выделение максимально плоского суграфа,
- построение топологического рисунка графа с минимальным числом пересечений,
- разбиение топологического рисунка графа на минимальное число планарных суграфов.

ПОСТРОЕНИЕ МАКСИМАЛЬНО ПЛОСКОГО СУГРАФА

Определение 1. Будем говорить, что максимально плоский суграф графа – это плоский топологический рисунок графа, полученный из исходного графа путем удаления минимального количества ребер.

Рассмотрим данный процесс построения для графа, представленного на рис. 2, без детального описания алгоритмов. Для нашего случая множество единичных циклов \tilde{N}_f^c для частично ориентированного графа имеет вид:

$$\begin{aligned} c_1 &= \{u_1, u_3, u_5, u_{34}, u_{35}, u_{36}\}; & c_2 &= \{u_1, u_3, u_5, u_{40}, u_{41}, u_{43}\}; & c_3 &= \{u_2, u_3, u_{16}, u_{18}, u_{19}, u_{36}\}; \\ c_4 &= \{u_4, u_5, u_7, u_{32}, u_{33}, u_{35}\}; & c_5 &= \{u_1, u_2, u_4, u_6, u_8, u_{10}, u_{12}, u_{14}\}; & c_9 &= \{u_8, u_9, u_{10}, u_{13}, u_{44}, u_{45}\}; \\ c_{10} &= \{u_{10}, u_{11}, u_{13}, u_{44}, u_{45}, u_{46}\}; & c_{12} &= \{u_{12}, u_{13}, u_{15}, u_{20}, u_{21}, u_{23}\}; & c_{13} &= \{u_2, u_3, u_{12}, u_{13}, u_{14}, u_{42}, u_{43}, u_{45}\}; \\ c_{14} &= \{u_{14}, u_{15}, u_{16}, u_{17}, u_{19}, u_{21}\}; & c_{17} &= \{u_{17}, u_{19}, u_{21}, u_{38}, u_{39}, u_{54}\}; & c_{18} &= \{u_{20}, u_{21}, u_{22}, u_{24}, u_{27}\}; \\ c_{21} &= \{u_{17}, u_{18}, u_{21}, u_{26}, u_{27}, u_{28}, u_{31}, u_{36}\}; & c_{22} &= \{u_{28}, u_{29}, u_{30}, u_{33}\}; & c_{23} &= \{u_{30}, u_{31}, u_{32}, u_{34}, u_{36}\}; \\ c_{24} &= \{u_1, u_3, u_4, u_7, u_{28}, u_{29}, u_{31}\}; & c_{28} &= \{u_{18}, u_{19}, u_{34}, u_{35}, u_{37}, u_{39}, u_{41}\}; & c_{29} &= \{u_{18}, u_{19}, u_{36}, u_{37}, u_{39}, u_{40}, u_{43}\}; \\ & & c_{30} &= \{u_{38}, u_{39}, u_{50}, u_{51}, u_{52}\}; & c_{33} &= \{u_{48}, u_{49}, u_{50}, u_{53}\}. \end{aligned}$$

Для полноты системы единичных циклов добавляются ориентированные циклы конструктивных фрагментов

$$\begin{aligned} c_{f1} &= \{u_{17}, u_{18}, u_{20}, u_{22}, u_{24}, u_{26}, u_{28}, u_{30}, u_{32}, u_{34}\}, & c_{f2} &= \{u_1, u_2, u_4, u_6, u_8, u_{10}, u_{12}, u_{14}\} \\ & & c_{f3} &= \{u_{37}, u_{38}, u_{40}, u_{42}, u_{44}, u_{46}, u_{47}, u_{48}, u_{50}, u_{52}\}. \end{aligned}$$

Например, для нашего случая (рис. 2) множество единичных циклов, выделенных традиционным алгоритмом [2, 3], имеет вид:

$$\begin{aligned} c_1 &= \{u_1, u_3, u_5, u_{34}, u_{35}, u_{36}\}; & c_2 &= \{u_1, u_3, u_5, u_{40}, u_{41}, u_{43}\}; \\ c_3 &= \{u_2, u_3, u_{16}, u_{18}, u_{19}, u_{36}\}; & c_4 &= \{u_4, u_5, u_7, u_{32}, u_{33}, u_{35}\}; \\ c_5 &= \{u_1, u_2, u_4, u_6, u_8, u_{10}, u_{12}, u_{14}\}; & c_6 &= \{u_1, u_3, u_4, u_6, u_9, u_{42}, u_{44}, u_{45}\}; \\ c_7 &= \{u_4, u_5, u_6, u_9, u_{40}, u_{41}, u_{42}, u_{44}\}; & c_8 &= \{u_8, u_9, u_{11}, u_{46}\}; \\ c_9 &= \{u_8, u_9, u_{10}, u_{13}, u_{44}, u_{45}\}; & c_{10} &= \{u_{10}, u_{11}, u_{13}, u_{44}, u_{45}, u_{46}\}; \\ c_{11} &= \{u_{10}, u_{11}, u_{12}, u_{14}, u_{16}, u_{47}, u_{48}, u_{51}\}; & c_{12} &= \{u_{12}, u_{13}, u_{15}, u_{20}, u_{21}, u_{23}\}; \\ c_{13} &= \{u_2, u_3, u_{12}, u_{13}, u_{14}, u_{42}, u_{43}, u_{45}\}; & c_{14} &= \{u_{14}, u_{15}, u_{16}, u_{17}, u_{19}, u_{21}\}; \\ c_{15} &= \{u_{14}, u_{15}, u_{16}, u_{38}, u_{39}, u_{54}\}; & c_{16} &= \{u_{17}, u_{18}, u_{20}, u_{23}, u_{36}, u_{42}, u_{43}, u_{45}\}; \\ c_{17} &= \{u_{17}, u_{19}, u_{21}, u_{38}, u_{39}, u_{54}\}; & c_{18} &= \{u_{20}, u_{21}, u_{22}, u_{24}, u_{27}\}; \\ c_{19} &= \{u_{24}, u_{25}, u_{27}, u_{52}, u_{53}, u_{54}\}; & c_{20} &= \{u_2, u_3, u_{14}, u_{15}, u_{26}, u_{27}, u_{28}, u_{31}\}; \\ c_{21} &= \{u_{17}, u_{18}, u_{21}, u_{26}, u_{27}, u_{28}, u_{31}, u_{36}\}; & c_{22} &= \{u_{28}, u_{29}, u_{30}, u_{33}\}; \\ c_{23} &= \{u_{30}, u_{31}, u_{32}, u_{34}, u_{36}\}; & c_{24} &= \{u_1, u_3, u_4, u_7, u_{28}, u_{29}, u_{31}\}; \end{aligned}$$

$$\begin{aligned} \underline{c}_{25} &= \{u_{34}, u_{35}, u_{36}, u_{40}, u_{41}, u_{45}\}; & \underline{c}_{26} &= \{u_1, u_2, u_5, u_{16}, u_{37}, u_{39}, u_{41}\}; \\ \underline{c}_{27} &= \{u_2, u_3, u_{16}, u_{37}, u_{39}, u_{40}, u_{43}\}; & \underline{c}_{28} &= \{u_{18}, u_{19}, u_{34}, u_{35}, u_{37}, u_{39}, u_{41}\}; \\ \underline{c}_{29} &= \{u_{18}, u_{19}, u_{36}, u_{37}, u_{39}, u_{40}, u_{43}\}; & \underline{c}_{30} &= \{u_{38}, u_{39}, u_{50}, u_{51}, u_{52}\}; \\ \underline{c}_{31} &= \{u_{10}, u_{11}, u_{13}, u_{22}, u_{23}, u_{25}, u_{47}, u_{49}\}; & \underline{c}_{32} &= \{u_{22}, u_{23}, u_{25}, u_{44}, u_{45}, u_{46}, u_{47}, u_{49}\}; \\ \underline{c}_{33} &= \{u_{48}, u_{49}, u_{50}, u_{53}\}. \end{aligned}$$

Помеченные циклы имеют ориентированные ребра, не совпадающие с другими ориентированными ребрами для соответствующего направления вращения корпусов элементов, и их следует удалить из множества единичных циклов частично ориентированного графа. Следует заметить, что задание единичных циклов только относительно направленных ребер, порождает не полное множество единичных циклов в частично ориентированных графах. В качестве примера, можно рассмотреть формирование единичного цикла $c_{24} = \{u_1, u_3, u_4, u_7, u_{28}, u_{29}, u_{31}\}$ на рис. 2, где по ориентированному ребру u_{28} проходит цикл $c_{22} = \{u_{28}, u_{29}, u_{30}, u_{33}\}$ меньшей длины, а по ориентированным ребрам u_1 и u_4 проходят циклы $c_1 = \{u_1, u_3, u_5, u_{34}, u_{35}, u_{36}\}$, $c_2 = \{u_1, u_3, u_5, u_{40}, u_{41}, u_{43}\}$, $c_4 = \{u_4, u_5, u_7, u_{32}, u_{33}, u_{35}\}$ также меньшей длины. Поэтому нужно пользоваться алгоритмом, описанным выше, то есть формировать \tilde{N}_f^c из \tilde{N}^c .

Принципиальное отличие задачи построения топологического рисунка графа с циклическими фрагментами от задачи построения рисунка неориентированного графа заключается в вопросе формирования множества единичных циклов. Если множество единичных циклов сформировано, то остальные процессы и методы ничем не отличаются от решения классической задачи построения топологического рисунка графа с минимальным числом пересечений.

Выделим базис для нашего графа с циклическими фрагментами.

$$\begin{aligned} c_1 &= \{u_1, u_3, u_5, u_{34}, u_{35}, u_{36}\}; & c_2 &= \{u_1, u_3, u_5, u_{40}, u_{41}, u_{43}\}; & c_3 &= \{u_2, u_3, u_{16}, u_{18}, u_{19}, u_{36}\}; \\ c_4 &= \{u_4, u_5, u_7, u_{32}, u_{33}, u_{35}\}; & c_9 &= \{u_8, u_9, u_{10}, u_{13}, u_{44}, u_{45}\}; & c_{10} &= \{u_{10}, u_{11}, u_{13}, u_{44}, u_{45}, u_{46}\}; \\ c_{12} &= \{u_{12}, u_{13}, u_{15}, u_{20}, u_{21}, u_{23}\}; & c_{13} &= \{u_2, u_3, u_{12}, u_{13}, u_{14}, u_{42}, u_{43}, u_{45}\}; & c_{14} &= \{u_{14}, u_{15}, u_{16}, u_{17}, u_{19}, u_{21}\}; \\ c_{17} &= \{u_{17}, u_{19}, u_{21}, u_{38}, u_{39}, u_{54}\}; & c_{18} &= \{u_{20}, u_{21}, u_{22}, u_{24}, u_{27}\}; & c_{22} &= \{u_{28}, u_{29}, u_{30}, u_{33}\}; \\ c_{23} &= \{u_{30}, u_{31}, u_{32}, u_{34}, u_{36}\}; & c_{24} &= \{u_1, u_3, u_4, u_7, u_{28}, u_{29}, u_{31}\}; & c_{28} &= \{u_{18}, u_{19}, u_{34}, u_{35}, u_{37}, u_{39}, u_{41}\}; \\ c_{30} &= \{u_{38}, u_{39}, u_{50}, u_{51}, u_{52}\}; & c_{33} &= \{u_{48}, u_{49}, u_{50}, u_{53}\}. \end{aligned}$$

Так как выделенный базис не удовлетворяет нулевому значению функционала Мак-Лейна $F(c_6) = 82$, то последовательно будем удалять из базиса циклы с обязательным соблюдением условия, что при удалении цикла цикломатическое число графа уменьшается ровно на единицу. Это соответствует тому, что при удалении цикла, удаляется одно и только одно ребро.

$$\begin{aligned} c_1 &= \{u_1, u_3, u_5, u_{34}, u_{35}, u_{36}\}; & c_3 &= \{u_2, u_3, u_{16}, u_{18}, u_{19}, u_{36}\}; & c_4 &= \{u_4, u_5, u_7, u_{32}, u_{33}, u_{35}\}; \\ c_{10} &= \{u_{10}, u_{11}, u_{13}, u_{44}, u_{45}, u_{46}\}; & c_{12} &= \{u_{12}, u_{13}, u_{15}, u_{20}, u_{21}, u_{23}\}; & c_{14} &= \{u_{14}, u_{15}, u_{16}, u_{17}, u_{19}, u_{21}\}; \\ c_{22} &= \{u_{28}, u_{29}, u_{30}, u_{33}\}; & c_{33} &= \{u_{48}, u_{49}, u_{50}, u_{53}\}; & c_{\Phi 1} &= \{u_{17}, u_{18}, u_{20}, u_{22}, u_{24}, u_{26}, u_{28}, u_{30}, u_{32}, u_{34}\}; \\ c_{\Phi 2} &= \{u_1, u_2, u_4, u_6, u_8, u_{10}, u_{12}, u_{14}\}; & c_{\Phi 3} &= \{u_{37}, u_{38}, u_{40}, u_{42}, u_{44}, u_{46}, u_{47}, u_{48}, u_{50}, u_{52}\}. \end{aligned}$$

После проведения операции удаления циклов, значение функционала Мак-Лейна для оставшихся циклов равно 0. Удаление циклов производилось с учетом максимального изменения значения функционала Мак-Лейна и с одновременным выполнением правила «удаляем цикл – удаляется только одно ребро».

Как видно по ребрам проходит не более чем два цикла, что полностью соответствует теореме Мак-Лейна. При этом мы получили базис подпространства циклов, описывающий топологический рисунок плоского суграфа (рис. 5).

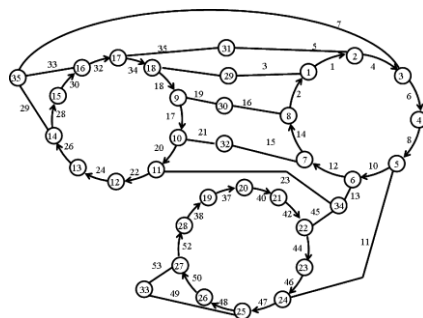


Рис. 5. Плоский суграф

Дальнейшее построение осуществляется с применением методов векторной алгебры пересечений [3]. Для проведения ребра (x_{12}, x_{23}) в качестве координатно-базисной системы применяется обод $c_0 = \{u_6, u_7, u_8, u_{11}, u_{22}, u_{23}, u_{24}, u_{26}, u_{29}, u_{37}, u_{38}, u_{40}, u_{42}, u_{45}, u_{47}, u_{49}, u_{52}, u_{53}\}$. Если технология изготовления плоского конструктива позволяет проводить соединения внутри циклического фрагмента, то возможно проведение соединений (x_{15}, x_{18}) , (x_{10}, x_{13}) , где в качестве координатно-базисной системы возможно применить циклический фрагмент $c_{\phi 1}$. Также возможно проведение соединения (x_{19}, x_{26}) , где в качестве координатно-базисной системы применен циклический фрагмент $c_{\phi 3}$. Проведение соединения (x_{12}, x_{23}) представлено на рис. 6, а. Проведение соединений (x_{15}, x_{18}) , (x_{10}, x_{13}) и (x_{19}, x_{26}) представлено на рис. 6, б. После проведения данных соединений система циклов изменится:

$$\begin{aligned}
 c_1 &= \{u_1, u_3, u_5, u_{34}, u_{35}, u_{36}\} \rightarrow (x_1, x_2, x_{17}, x_{18}, x_{29}, x_{31}); \\
 c_3 &= \{u_2, u_3, u_{16}, u_{18}, u_{19}, u_{36}\} \rightarrow (x_1, x_8, x_9, x_{18}, x_{29}, x_{30}); \\
 c_4 &= \{u_4, u_5, u_7, u_{32}, u_{33}, u_{35}\} \rightarrow (x_2, x_3, x_{16}, x_{17}, x_{31}, x_{35}); \\
 c_{10} &= \{u_{10}, u_{11}, u_{13}, u_{44}, u_{45}, u_{46}\} \rightarrow (x_5, x_6, x_{22}, x_{23}, x_{24}, x_{34}); \\
 c_{12} &= \{u_{12}, u_{13}, u_{15}, u_{20}, u_{21}, u_{23}\} \rightarrow (x_6, x_7, x_{10}, x_{11}, x_{32}, x_{34}); \\
 c_{14} &= \{u_{14}, u_{15}, u_{16}, u_{17}, u_{19}, u_{21}\} \rightarrow (x_7, x_8, x_9, x_{10}, x_{30}, x_{32}); \\
 c_{22} &= \{u_{28}, u_{29}, u_{30}, u_{33}\} \rightarrow (x_{14}, x_{15}, x_{16}, x_{35}); \\
 c_{33} &= \{u_{48}, u_{49}, u_{50}, u_{53}\} \rightarrow (x_{25}, x_{26}, x_{27}, x_{33}); \\
 c_{34} &= \{u_{22}, u_{23}, u_{25}, u_{37}, u_{38}, u_{40}, u_{42}, u_{45}, u_{52}, u_{53}\} \rightarrow (x_{11}, x_{12}, x_{19}, x_{20}, x_{21}, x_{22}, x_{27}, x_{28}, x_{33}, x_{34}); \\
 c_{\phi 1, a} &= \{u_{30}, u_{31}, u_{32}, u_{34}\} \rightarrow (x_{15}, x_{16}, x_{17}, x_{18}); \\
 c_{\phi 1, b} &= \{u_{17}, u_{18}, u_{26}, u_{27}, u_{28}, u_{31}\} \rightarrow (x_9, x_{10}, x_{13}, x_{14}, x_{15}); \\
 c_{\phi 1, c} &= \{u_{20}, u_{22}, u_{24}, u_{27}\} \rightarrow (x_{10}, x_{11}, x_{12}, x_{13}); \\
 c_{\phi 2} &= \{u_1, u_2, u_4, u_6, u_8, u_{10}, u_{12}, u_{14}\} \rightarrow (x_1, x_2, x_3, x_4, x_5, x_6, x_7, x_8); \\
 c_{\phi 3, a} &= \{u_{37}, u_{40}, u_{42}, u_{44}, u_{46}, u_{47}, u_{48}, u_{51}\} \rightarrow (x_{19}, x_{20}, x_{21}, x_{22}, x_{23}, x_{24}, x_{25}, x_{26}); \\
 c_{\phi 3, b} &= \{u_{38}, u_{50}, u_{51}, u_{52}\} \rightarrow (x_{19}, x_{26}, x_{27}, x_{28}); \\
 c_0 &= \{u_6, u_7, u_8, u_{11}, u_{24}, u_{25}, u_{26}, u_{29}, u_{49}\} \rightarrow (x_3, x_4, x_5, x_{12}, x_{13}, x_{14}, x_{24}, x_{25}, x_{33}, x_{35}).
 \end{aligned}$$

ПОСТРОЕНИЕ ТОПОЛОГИЧЕСКОГО РИСУНКА ГРАФА С МИНИМАЛЬНЫМ ЧИСЛОМ ПЕРЕСЕЧЕНИЙ

Предварительным этапом построения топологического рисунка графа с минимальным числом пересечений является построение графа циклов для максимально плоского суграфа. На графе циклов определяются все минимальные маршруты для непроведенных соединений (ребер), например, см. рис. 7, а для проведения соединения (x_{10}, x_{28}) , и рис. 8, а для проведения соединения (x_9, x_{19}) .

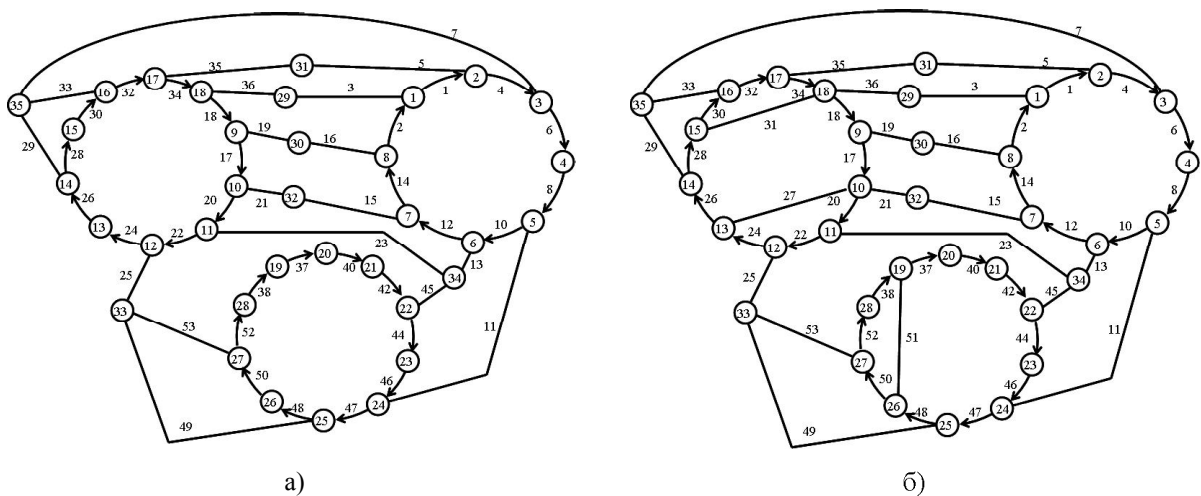


Рис. 6. Проведение соединений методами векторной алгебры пересечений

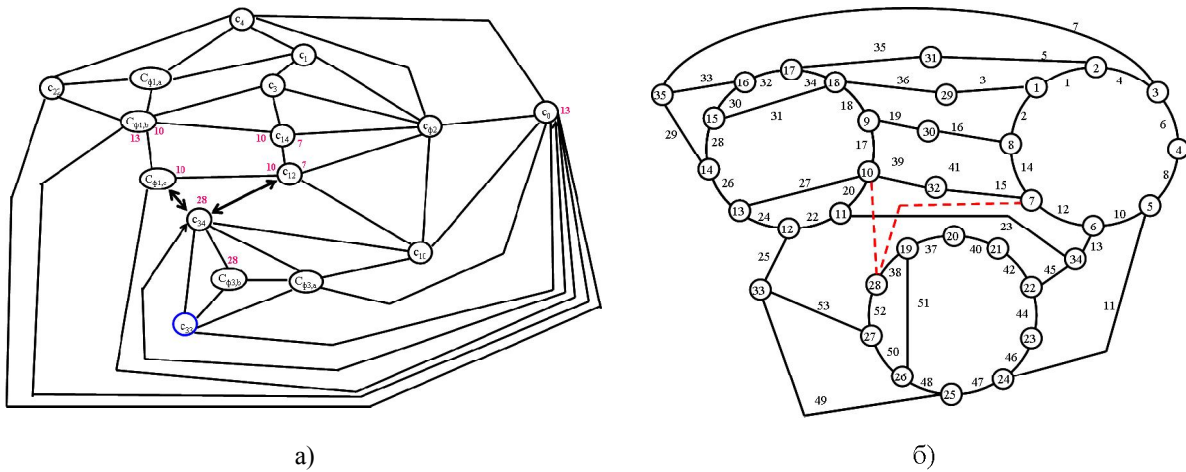


Рис. 7. Проведение минимального маршрута для ребра (x_{28}, x_{10})

Топологическим рисунком графа будем называть граф с заданным вращением вершин (G, h) . После проведения всех минимальных маршрутов для ранее исключенных ребер (соединений) производится выбор непересекающихся маршрутов для проведения каждого ребра (рис. 9, а-г).

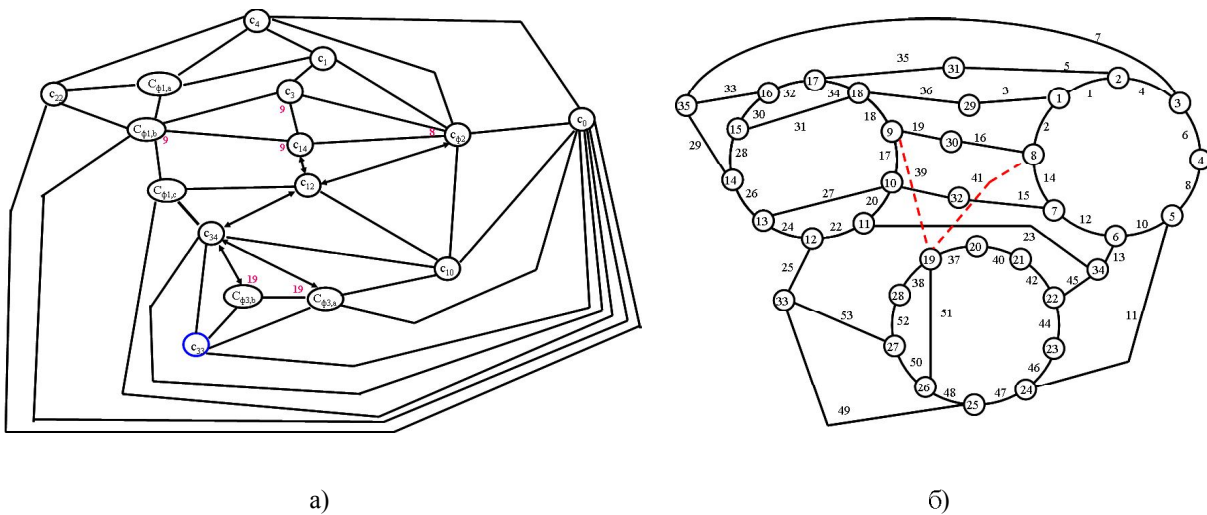
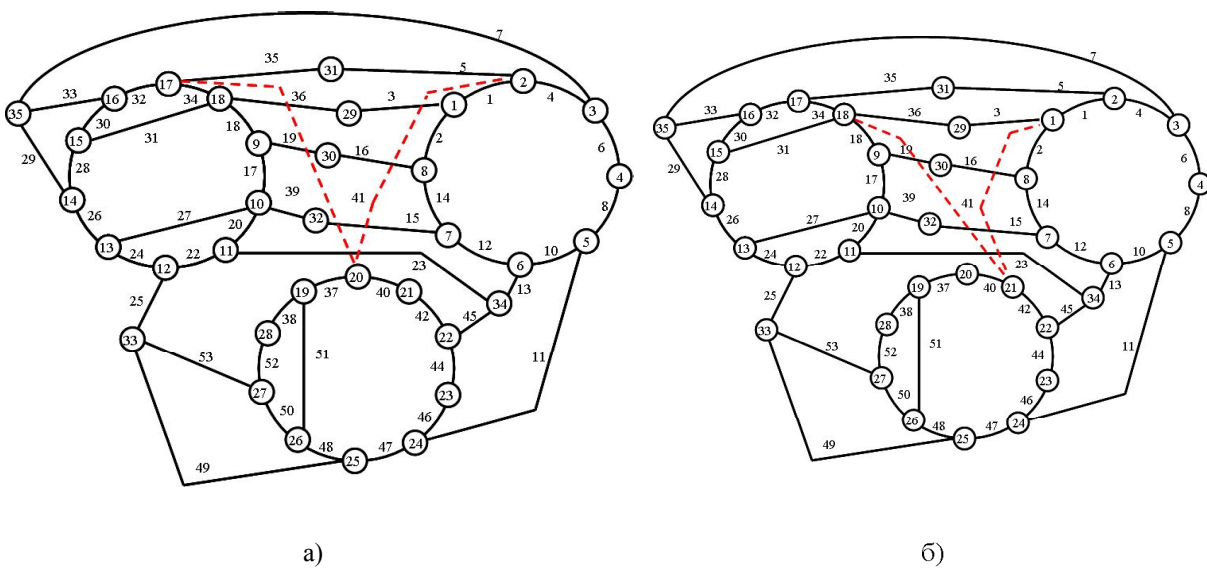
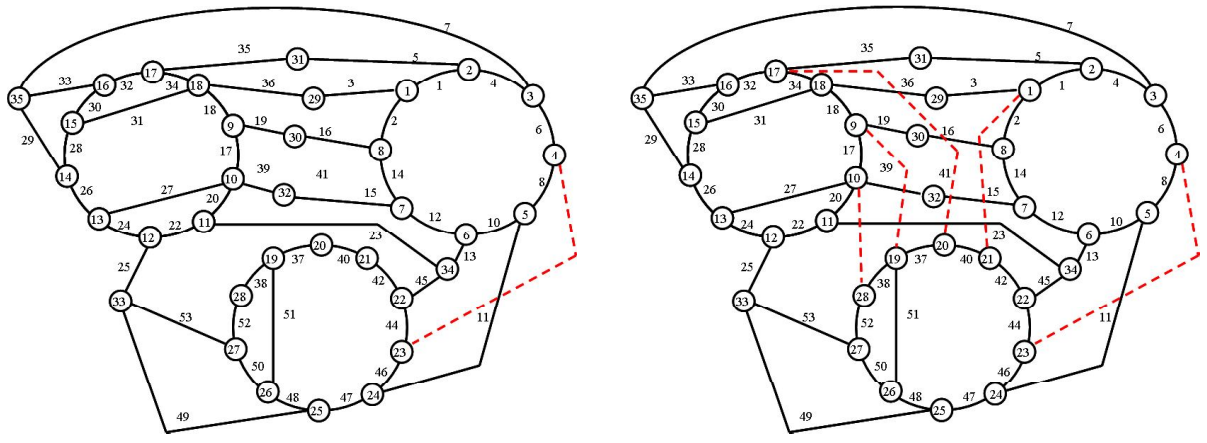


Рис. 8. Проведение минимального маршрута для ребра (x_9, x_{19})





в) г)

Рис. 9. Проведение ранее исключенных соединений

Следующим этапом является введение мнимых вершин для пересекающихся ребер (рис. 10) и построение топологического рисунка графа путем задания вращения всех вершин как истинных, так и мнимых:

$$\begin{aligned}
 \hbar &= \{ \hbar_1 = \langle X_8, X_{44}, X_{29}, X_2 \rangle; \hbar_2 = \langle X_1, X_{31}, X_3 \rangle; \hbar_3 = \langle X_2, X_{35}, X_4 \rangle; \hbar_4 = \langle X_3, X_{42}, X_5 \rangle; \hbar_5 = \langle X_4, X_{42}, X_6 \rangle; \\
 &= \langle X_5, X_{34}, X_7 \rangle; \hbar_7 = \langle X_6, X_{40}, X_8 \rangle; \hbar_8 = \langle X_7, X_{44}, X_1 \rangle; \hbar_9 = \langle X_{18}, X_{30}, X_{46}, X_{10} \rangle; \hbar_{10} = \langle X_9, X_{46}, X_{36}, X_{11}, X_{13} \rangle; \\
 \hbar_{11} &= \langle X_{10}, X_{36}, X_{12} \rangle; \hbar_{12} = \langle X_{11}, X_{33}, X_{13} \rangle; \hbar_{13} = \langle X_{14}, X_{10}, X_{12} \rangle; \hbar_{14} = \langle X_{15}, X_{13}, X_{35} \rangle; \hbar_{15} = \langle X_{16}, X_{18}, X_{14} \rangle; \\
 \hbar_{16} &= \langle X_{17}, X_{15}, X_{35} \rangle; \hbar_{17} = \langle X_{16}, X_{31}, X_{45}, X_{18} \rangle; \hbar_{18} = \langle X_{17}, X_{45}, X_9, X_{15} \rangle; \hbar_{19} = \langle X_{28}, X_{37}, X_{20}, X_{26} \rangle; \hbar_{20} = \langle X_{19}, X_{38}, X_{21} \rangle; \\
 \hbar_{21} &= \langle X_{20}, X_{41}, X_{22} \rangle; \hbar_{22} = \langle X_{21}, X_{34}, X_{23} \rangle; \hbar_{23} = \langle X_{22}, X_{42}, X_{24} \rangle; \hbar_{24} = \langle X_{23}, X_{42}, X_{25} \rangle; \hbar_{25} = \langle X_{26}, X_{24}, X_{33} \rangle; \\
 \hbar_{26} &= \langle X_{27}, X_{19}, X_{25} \rangle; \hbar_{27} = \langle X_{28}, X_{26}, X_{33} \rangle; \hbar_{28} = \langle X_{19}, X_{27}, X_{36} \rangle; \hbar_{29} = \langle X_{45}, X_1 \rangle; \hbar_{30} = \langle X_9, X_{43} \rangle; \\
 \hbar_{31} &= \langle X_{17}, X_2 \rangle; \hbar_{32} = \langle X_{46}, X_{39} \rangle; \hbar_{33} = \langle X_{12}, X_{27}, X_{25} \rangle; \hbar_{34} = \langle X_6, X_{22}, X_{41} \rangle; \hbar_{35} = \langle X_3, X_{16}, X_{14} \rangle; \\
 \hbar_{36} &= \langle X_{11}, X_{10}, X_{37}, X_{28} \rangle; \hbar_{37} = \langle X_{36}, X_{46}, X_{38}, X_{19} \rangle; \hbar_{38} = \langle X_{37}, X_{39}, X_{41}, X_{20} \rangle; \hbar_{39} = \langle X_{32}, X_{43}, X_{40}, X_{38} \rangle; \\
 \hbar_{40} &= \langle X_{39}, X_{44}, X_7, X_{41} \rangle; \hbar_{41} = \langle X_{38}, X_{40}, X_{34}, X_{21} \rangle; \hbar_{42} = \langle X_5, X_4, X_{24}, X_{23} \rangle; \hbar_{43} = \langle X_{30}, X_{45}, X_{44}, X_{39} \rangle; \\
 \hbar_{44} &= \langle X_1, X_8, X_{40}, X_{43} \rangle; \hbar_{45} = \langle X_{18}, X_{17}, X_{29}, X_{43} \rangle; \hbar_{46} = \langle X_9, X_{32}, X_{37}, X_{10} \rangle \}.
 \end{aligned}$$

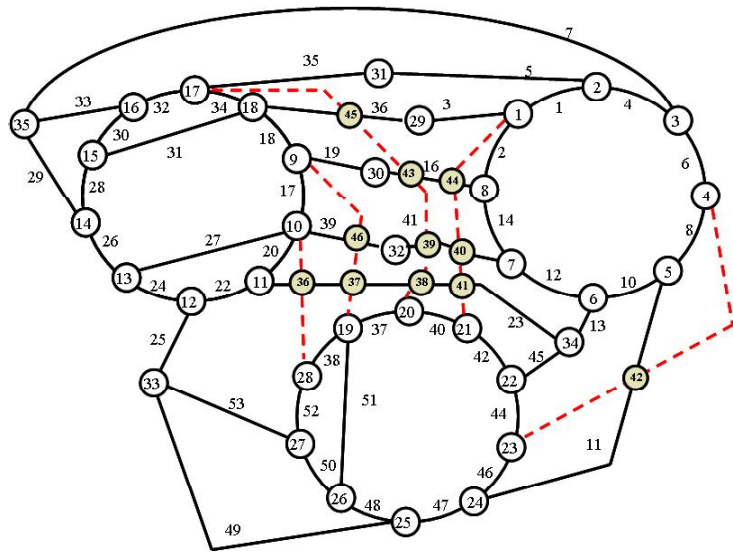


Рис. 10. Введение мнимых вершин, характеризующих пересечение соединений

РАССЛОЕНИЕ ТОПОЛОГИЧЕСКОГО РИСУНКА ГРАФА

Определив топологический рисунок графа, можно построить граф пересечений ребер относительно мнимых вершин. Произведя раскраску вершин графа пересечений, определим число и топологический рисунок планарных суграфов (рис. 11).

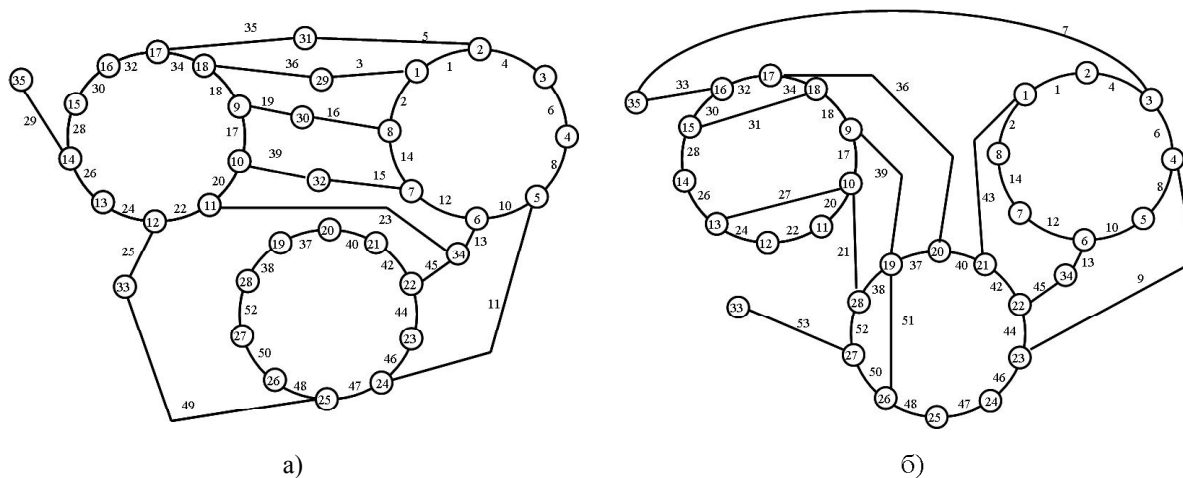


Рис. 11. Расслоение топологического рисунка графа

Следующий этап – построение геометрического рисунка графа относительно вычисленного топологического рисунка. Геометрические построения можно осуществить множеством способов, подробное описание которых представлено в работах [6-10].

ВЫВОДЫ

Решение задачи построения рисунка графа носит двойственный характер. С одной стороны, при решении следует учитывать топологические свойства, такие как: планаризация графа, определение минимального числа пересечения ребер, взаимное расположение вершин и ребер, разбиение рисунка графа на части и др. Геометрическими методами определяются координаты вершин и конфигурация ребер, расстояние между ними и другие метрические характеристики. Современная концепция построения рисунка графа и его визуализация должна быть построена следующим образом: вначале создается топологический рисунок графа алгебраическими методами без конкретной геометрической прорисовки на плоскости, затем, на основании топологического рисунка, строится его геометрическое изображение.

ЛИТЕРАТУРА

1. Базилевич Р. П. Декомпозиционные и топологические методы автоматизированного конструирования электронных устройств / Р. П. Базилевич. – Львов : Изд-во при Львов ун-те, 1981. – 168 с.
2. Курапов С. В. Векторная алгебра и рисунок графа / С. В. Курапов, В. В. Савин. – Запорожье : ЗДУ, 2003. – 200 с.
3. Курапов С. В. Алгоритмические методы в теории графов / С. В. Курапов. – Запорожье : ЗДУ – 2012. – 190 с.
4. Раппопорт Л. И. Векторная алгебра пересечений / Л. И. Раппопорт, Б. Н. Мороговский, С. А. Поливцев // В кн. : Многопроцессорные вычислительные структуры. – Таганрог, 1982. – Вып. 2(11). – С. 53-56.
5. Щемелинин В. М. Задача оптимального представления графа электрической схемы / В. М. Щемелинин // В кн. : Микроэлектроника. – М. : Советское радио, 1975. – Вып. 9. – С. 253-261.
6. G. Di Battista. Algorithms for Drawing Graphs: an Annotated Bibliography / G. Di Battista, P. Eades, R. Tamassia, I.G. Tollis // Computational Geometry, Theory and Applications. – 1994. – N 4. – P. 235-282.
7. Liu C. L. On the deletion of nonplanar edges of a graph / C. L. Liu, R. C. Geldmacher // [1978]. – SIAM J. Comput. (to appear) (3.1.4; 3.2.2.; A1.2).
8. Sugiyama Kozo. Graph Drawing and applications / Kozo Sugiyama. – New Jersey : World Scientific, 2002. – 128 p.
9. Takao Nishizeki. Planar Graph Drawing / Takao Nishizeki, Md. Saidur Rahman. – New Jersey : World Scientific, 2004. – 310 p.
10. Roberto Tamassia. Handbook of Graph Drawing and Visualization / Roberto Tamassia. – Charman and Hall/CRC. – 2013. – 844 p.